

**КВАЗИЛИНЕЙНАЯ СИСТЕМА УРАВНЕНИЙ ДЛЯ ПАРАМЕТРОВ  
РАЗВИТОЙ ТУРБУЛЕНТНОСТИ.  
РАСЧЕТ БЕЗВИХРЕВОГО ИСКАЖЕНИЯ ПОТОКА ЗА РЕШЕТКОЙ**

Изложенный в [1] метод замыкания уравнений развитой анизотропной турбулентности, основанный на гипотезах о характере зависимости спектральных тензоров от волнового вектора (скейлинг и факторизация), используется для расчета безвихревых искажений решеточной турбулентности. Получена замкнутая система уравнений, которая разделяется на две подсистемы. Одна из них (для относительных интенсивностей) линейна. Вторая сводится к автономному уравнению для специальной функции  $A$ , характеризующей топологическую структуру потока. Проведено сравнение расчетов с экспериментом и теорией быстрого искажения. Показано, что результат искажения и, в частности, характер асимптотик, существенно зависят от структуры турбулентности входного потока.

**1. Уравнения для ориентационных моментов спектрального тензора.** В [1] получена замкнутая система уравнений для секулярных полей развитой анизотропной турбулентности, к которым, как было показано, относятся интегральный масштаб  $r_c$ , тензор  $f_{ij}^{(n)}$ , получаемый интегрированием спектральной функции  $F_{ij}$  по всем возможным ориентациям волнового вектора  $k$ , а также функция  $A$ , задаваемая соотношением

$$(1.1) \quad U_{lm} f_{ij}^{(lm)} = A f_{ij}^{(0)}.$$

Тензор  $f_{ij}^{(0)}$  и определяемый аналогично тензор ориентационных моментов второго порядка  $f_{ij}^{(lm)}$  непосредственно связаны соответственно с тензором Рейнольдсовых напряжений  $\langle u_i u_j \rangle$  и «быстрой» частью корреляций давление — скорость деформации  $\Phi_{ij,2}$ :

$$(1.2) \quad \langle u_i u_j \rangle = \alpha r_c^{-3} f_{ij}^{(0)}, \quad \Phi_{ij,2} = \alpha r_c^{-3} P_{ij},$$

где  $P_{ij} \equiv \widehat{P} = U_{lm} f_{mj}^{(li)}$ ;  $U_{lm} \equiv \widehat{U} = \partial U_l / \partial x_m$ ; все обозначения совпадают с принятыми в [1].

Уравнения для  $f_{ij}^{(0)}$  и  $r_c$ , выведенные в [1] из уравнения Крайя с использованием гипотез о характере зависимости спектральных функций от волнового вектора, имеют вид

$$(1.3) \quad U_k \frac{\partial f_{ij}^{(0)}}{\partial x_k} + (U_{il} f_{lj}^{(0)})_s - 3A f_{ij}^{(0)} = 2(P_{ij})_s;$$

$$(1.4) \quad U_k \frac{\partial \ln r_c}{\partial x_k} = A + 2(r_c/r_d)^{-1/\nu} t_d^{-1}.$$

Величина  $A^{-1}$ , согласно (1.4), связана с характерным временным масштабом изменения  $r_c$ . Здесь  $r_d \equiv (\eta^3/\langle \varepsilon \rangle)^{1/4}$ ,  $t_d = (\eta/\langle \varepsilon \rangle)^{1/2}$  — колмогоровские масштабы;  $\nu = 6/(4 + 3\mu)$ ;  $\mu$  — спектральный индекс, характеризующий флуктуации диссипации энергии.

Для  $\langle \varepsilon \rangle$  в [1] получено алгебраическое представление

$$(1.5) \quad \langle \varepsilon \rangle = 3t_d^{-1} (r_c/r_d)^{-1/\nu} \langle u_i^2 \rangle / 2,$$

а для тензора  $f_{ij}^{(lm)}$ , свертки которого с  $\widehat{U}$  присутствуют в правых частях уравнений (1.3) и (1.4), выведено уравнение

$$(1.6) \quad U_k \frac{\partial f_{ij}^{(pq)}}{\partial x_k} + (U_{il} f_{lj}^{(pq)})_s + (U_{lq} f_{ij}^{(lp)})_s - 5A f_{ij}^{(pq)} = 2U_{lm} (f_{mj}^{(lispq)})_s.$$

При расчете простейшего случая осесимметричного поджатия потока за решеткой компоненты тензора  $P_{ij}$  выражаются через  $A$  и  $f_{ij}^{(0)}$ . Уравнение для  $A$  выводится при этом из (1.6) сворачиванием индексов  $p, i; q, j$  с  $U_{pi}, U_{qj}$ :

$$(1.7) \quad U_k \frac{\partial (\bar{P}\bar{U})}{\partial x_k} + 4(\bar{P}\bar{U}^2) - 9A(\bar{P}\bar{U}) = 2U_k \bar{P} \frac{\partial \bar{U}}{\partial x_k}.$$

После некоторых преобразований из (1.7) с использованием (1.3) имеем

$$(1.8) \quad \frac{U}{\kappa} \frac{d\bar{A}}{dx} = (\bar{A} - 1)(2\bar{A} + 1),$$

где  $\kappa \equiv \partial U / \partial x$ ; ось  $x$  направлена вдоль потока;  $U$  — соответствующая компонента скорости; черта над величиной означает обезразмеривание с помощью  $\kappa$ .

Система (1.3), (1.4), (1.8) легко интегрируется, при этом удается получить явный вид зависимости  $A, r_c, f_{11}^{(0)}, f_{ii}^{(0)}$  (и как следствие — величин  $\langle u_1^2 \rangle, \langle u_i^2 \rangle, \langle \epsilon \rangle$ ) от  $x$ .

**2. Безвихревое искажение общего вида.** В данной работе предложенный в [1] метод применяется для расчета течений, возникающих за решеткой при безвихревом искажении общего вида, когда

$$(2.1) \quad \bar{U} = \kappa \begin{pmatrix} 1 & 0 & 0 \\ 0 & F & 0 \\ 0 & 0 & -F & -1 \end{pmatrix}, \quad -0,5 \leq F \leq 1.$$

Библиография соответствующих экспериментальных исследований обширна; наиболее полно изучены случаи осесимметричного поджатия ( $F = -1/2$ ) [2—6] и плоской деформации, когда  $F = 0$  [7—11].

Как и при расчете осесимметричного поджатия, ограничимся расчетом характеристик турбулентности лишь на оси канала. При этом записанные выше уравнения в частных производных сводятся к обыкновенным дифференциальным. Кроме того,  $\kappa$  и  $F$  будем считать константами, учитывая, что значительная часть экспериментальных результатов [7—10] относится именно к этому случаю.

Течения указанного типа в известной степени являются эталонными. Так, с одной стороны, они наиболее удобны для изучения взаимодействия пульсаций со средним сдвигом: поле средней скорости определяется в данном случае лишь геометрией стенок канала, тензоры  $\langle u_i u_j \rangle$  и  $P_{ij}$  диагональны, а диффузионные слагаемые в уравнениях для  $\langle u_i u_j \rangle$  малы в силу условия  $\sqrt{\langle u_i^2 \rangle} \ll \bar{U}$ ; с другой — получаемые здесь результаты часто используются при выборе значений констант в различных полумпирических моделях [12].

В то же время, несмотря на относительную простоту, указанные течения с трудом поддаются расчету [13], хотя поведение относительной интенсивности пульсаций различных компонент качественно описывает даже теория быстрого искажения [14].

Перейдем к непосредственному анализу приведенной в п. 1 системы применительно к данному случаю. Здесь неизвестными являются интенсивности всех трех компонент и, соответственно, в уравнениях (1.3) для  $f_{ij}^{(0)}$  присутствуют обе независимые компоненты беспшпурового тензора  $P_{ij}$ . Для определения последних в отличие от осесимметричного поджатия одного алгебраического соотношения (1.1) уже недостаточно. Из уравнения (1.6), однако, нетрудно получить дополнительное соотношение, замыкающее систему уравнений. Действительно, сворачивая в (1.6) индексы  $p, q$  с  $U_{pq}$  и применяя (1.3), имеем

$$(2.2) \quad U_{lm}^{21} f_{ij}^{(1m)} = B f_{ij}^{(0)},$$

где  $B \equiv A^2 + \kappa \frac{dA}{dt}$ ;  $t = -2 \int \frac{\kappa dx}{U(x)}$  — параметр, характеризующий степень искажения.

С использованием (1.8) и (2.4) нетрудно убедиться, что при  $F = -1/2$  соотношение (2.2) совпадает с (1.4).

После некоторых вычислений, приведенных в приложении, из (1.4) и (2.2) удается найти выражения, связывающие  $P_{ij}$  с  $\bar{A}$  и  $f_{ij}^{(0)}$ :

$$(2.3) \quad 2\bar{P}_{11} = -\frac{3}{(F-1)(F+2)} (\bar{B} + \bar{A} - F(F+1)) f_{11}^{(0)} - \frac{1}{(F-1)} (\bar{B} + F\bar{A} - (F+1)) f_{22}^{(0)} + \frac{1}{(F+2)} (\bar{B} - \bar{A}(F+1) + F) f_{33}^{(0)};$$

$$(2.4) \quad 2\bar{P}_{22} = \frac{1}{(F-1)} (\bar{B} + \bar{A} - F(F+1)) f_{11}^{(0)} + \frac{3F}{(F-1)(2F+1)} (\bar{B} + F\bar{A} - (F+1)) f_{22}^{(0)} + \frac{1}{(2F+1)} (\bar{B} - \bar{A}(F+1) + F) f_{33}^{(0)}.$$

На основе представлений (2.3), (2.4) уравнение (1.7) после довольно громоздких выкладок преобразуется к автономному уравнению для функции  $\bar{A}$ :

$$\frac{d^2 \bar{A}}{dt^2} + 3\bar{A} \frac{d\bar{A}}{dt} + \bar{A}^3 - \bar{A}(F^2 + F + 1) + F(F+1) = 0.$$

Его общее решение имеет вид ( $l = \exp(-t/2)$ )

$$(2.5) \quad \bar{A} = \frac{l^{-1/2} + FD_2 l^{-F/2} - (F+1) D_3 l^{(F+1)/2}}{l^{-1/2} + D_2 l^{-F/2} + D_3 l^{(F+1)/2}},$$

или, что эквивалентно,  $\bar{A} = -2l \frac{d \ln u}{dt}$ , где  $u = l^{-1/2} + D_2 l^{-F/2} + D_3 l^{(F+1)/2}$ ;  $D_2, D_3$  — константы.

Используя явное выражение (2.5) для  $\bar{A}$ , соотношения (2.3), (2.4) для  $\bar{P}_{ij}$  можно записать более компактно:

$$(2.6) \quad 2\bar{P} = \frac{1}{u} \widehat{M} \mathbf{f}^{(0)}.$$

Здесь  $\mathbf{P}$  и  $\mathbf{f}^{(0)}$  — векторы-столбцы, составленные из диагональных компонент тензоров  $P_{ij}$  и  $f_{ij}^{(0)}$ ;  $\widehat{M}$  — матрица вида

$$(2.7) \quad \widehat{M} = \begin{pmatrix} 3l^{-1/2} & -2(F+1)D_2 l^{-F/2} & (2F+1)D_3 l^{(F+1)/2} \\ -(F+2)l^{-1/2} & 3FD_2 l^{-F/2} & (F+2)D_3 l^{(F+1)/2} \\ (F-1)l^{-1/2} & (1-F)D_2 l^{-F/2} & -3(F+1)D_3 l^{(F+1)/2} \end{pmatrix}.$$

Наконец, с учетом (2.5)–(2.7) тензорное уравнение (1.3) легко сводится к системе трех линейных однородных дифференциальных уравнений с переменными коэффициентами:

$$(2.8) \quad 4ul \frac{df_{11}^{(0)}}{dt} = (7l^{-1/2} + (3F-2)D_2 l^{-F/2} - (3F+5)D_3 l^{(F+1)/2}) f_{11}^{(0)} - 2(2F+1)D_2 l^{-F/2} f_{22}^{(0)} + 2(2F+1)D_3 l^{(F+1)/2} f_{33}^{(0)};$$

$$4ul \frac{df_{22}^{(0)}}{dt} = -2(F+2)l^{-1/2} f_{11}^{(0)} + ((3-2F)l^{-1/2} + 7FD_2 l^{-F/2} - (5F+3)D_3 l^{(F+1)/2}) f_{22}^{(0)} + 2(F+2)D_3 l^{(F+1)/2} f_{33}^{(0)};$$

$$4ul \frac{df_{33}^{(0)}}{dt} = 2(F-1)l^{-1/2} f_{11}^{(0)} - 2(F-1)D_2 l^{-F/2} f_{22}^{(0)} + ((2F+5)l^{-1/2} + (5F+2)D_2 l^{-F/2} - 7(F+1)D_3 l^{(F+1)/2}) f_{33}^{(0)}.$$

В частном случае ( $F = -0,5$ ) формула (2.5) и первое из уравнений (2.8) сводятся к соотношениям из [1]:

$$\bar{A} = \frac{1}{2} \left( \frac{3}{1 + \beta l^3} - 1 \right), \quad U \frac{df_{11}^{(0)}}{dx} = \bar{A} f_{11}^{(0)} \quad (\beta = D_2 + D_3).$$

**3. Проблема начальных условий.** Полученные в п. 2 уравнения фактически не содержат эмпирических констант, а начальные значения функций  $f_{ij}^{(0)}$  легко определяются из условий эксперимента по первой из формул (1.2). В то же время при нахождении начальных значений функции  $A$  и ее производной (или, что эквивалентно, параметров  $D_2$  и  $D_3$ ) возникают трудности.

Во-первых, для определения этих значений необходима постановка довольно тонкого спектрального эксперимента. Получим в этой связи явное представление для констант  $D_2$  и  $D_3$ , конкретизирующее их спектральный смысл. С учетом формулы (2.5) приведенные в приложении соотношения (П.1), (П.2) для компонент тензора  $f_{ij}^{(0)}$  можно записать как

$$(3.1) \quad f_{ij}^{(11)} = \frac{l^{-1/2}}{u} f_{ij}^{(0)}, \quad f_{ij}^{(22)} = \frac{D_2 l^{-F/2}}{u} f_{ij}^{(0)}.$$

При  $l = 1$  из (3.1) получаем

$$(3.2) \quad \frac{1}{1 + D_2 + D_3} = \frac{f_{ij}^{(11)}(1)}{f_{ij}^{(0)}(1)}, \quad \frac{D_2}{1 + D_2 + D_3} = \frac{f_{ij}^{(22)}(1)}{f_{ij}^{(0)}(1)}.$$

Согласно (3.2), константы  $D_2$  и  $D_3$  определяются начальными значениями компонент тензора ориентационных моментов второго порядка.

Вторая трудность обусловлена спецификой рассматриваемого класса течений, а именно: условие  $\kappa = \text{const}$  предполагает скачок производной средней скорости в начале участка искажения. Как следствие производные величин  $\langle u_i u_j \rangle$  и  $r_c$ , вероятнее всего, также не непрерывны при  $t = 0$ . Основываясь на уравнении (1.4), аналогичный вывод можно сделать по отношению к функции  $A$ . Это означает, что  $D_2$  и  $D_3$  однозначно найти по характеристикам набегающего потока в данном случае нельзя.

Существуют, однако, дополнительные общие соображения, позволяющие конкретизировать область возможных значений  $D_2$  и  $D_3$ . В качестве исходного используем известное неравенство [15]

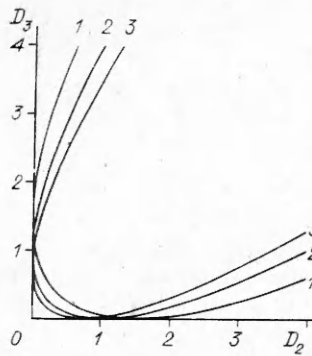
$$(3.3) \quad F_{ij} \zeta_i \zeta_j \geq 0$$

( $\zeta$  — произвольный вектор). Его следствием является, например, соотношение  $\langle u_1^2 \rangle \langle u_2^2 \rangle \geq \langle u_1 u_2 \rangle^2$  [16], представляющее собой, по существу, ограничение на значения моментов нулевого порядка. Нетрудно получить аналогичное соотношение и для моментов второго порядка. В частности, выбирая в качестве  $\zeta_i$  вектор  $K_{il} \theta_l$  ( $\widehat{K}$  — диагональная матрица), после интегрирования левой части неравенства (3.3) по всем  $\theta$  получим формулу  $K_{il} f_{ij}^{(lm)} K_{jm}$ . Из условий ее положительной определенности имеем  $f_{11}^{(11)} f_{22}^{(22)} \geq (f_{12}^{(12)})^2$ . Для изотропных (в смысле  $f_{ij}^{(0)}|_{l=1} \sim \delta_{ij}$ ) начальных условий при  $l = 1$  из последнего неравенства с учетом представления (3.2) находим

$$(3.4) \quad (D_3 - D_2 - 1)^2 \leq 4D_2.$$

Соответствующая область возможных значений  $D_2$  и  $D_3$  представлена на рис. 1. Она ограничена параболой, ось симметрии которой совпадает с прямой  $D_2 = D_3$  (линия 1). Аналогичные результаты получаются в случае, когда поток на входе несимметричен:  $f_{22}^{(0)} = f_{33}^{(0)}$ ,  $f_{11}^{(0)} = a f_{22}^{(0)}$  (т. е.  $\langle u_1^2 \rangle / \langle u_2^2 \rangle = a$ ). Для примера на рисунке отмечены параболы, соответствующие значениям  $a = 1,5$  и  $0,75$  (линии 2 и 3).

**4. Условия осевой симметрии.** Задача отыскания значений  $D_2$  и  $D_3$  имеет дополнительный аспект, заслуживающий отдельного рассмотрения.



Р и с. 1

Если для спектрального тензора, как и в теории быстрого искажения, использовать при  $t = 0$  изотропную параметризацию  $F_{ij} \sim (\delta_{ij} - \hat{\theta}_i \hat{\theta}_j)$ , то моменты любого порядка могут быть непосредственно вычислены. В [1], однако, показано, что понятие изотропной турбулентности представляет собой весьма грубую модель реального турбулентного потока, буквальная реализация которой в общем случае, по-видимому, невозможна. Этот вывод может быть усилен: в рамках предлагаемого метода осесимметричные модели также не вполне адекватны, а именно: если ось  $x_1$  соответствует направлению неискаженного потока, то при  $x_1 = 0$  из условия осевой симметрии, в частности, следует

$$(4.1) \quad f_{i2}^{(0)} = f_{33}^{(0)}, \quad f_{ij}^{(22)} = f_{ij}^{(33)}, \quad f_{j2}^{(i2)} = f_{j3}^{(i3)}.$$

Из последней формулы (4.1) нетрудно получить  $P_{22}(0) = P_{33}(0)$ , откуда с учетом (2.6) и (2.7) имеем

$$(4.2) \quad D_2 = \frac{a(2F+1) - (4F+5)D_3}{4F-1}.$$

Второе из условий (4.1) с учетом представлений (3.2) дает  $D_2 = D_3$ . В результате из (4.2) находим  $D_2 = D_3 = a/4$ .

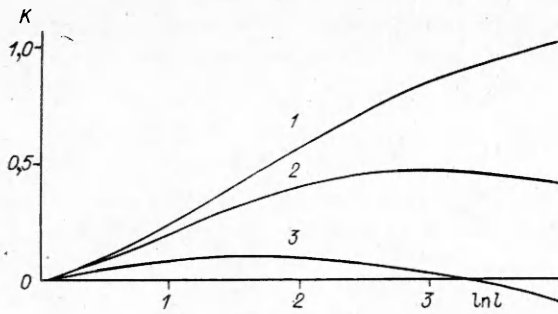
Таким образом, использование предположения об осевой симметрии входного потока на первый взгляд позволяет однозначно определить параметры  $D_2$  и  $D_3$ . Более того, при изотропных (по отношению к  $f_{ij}^{(0)}$ ) начальных условиях, когда  $a = 1$ ,  $D_2 = D_3 = 0,25$  (эта точка совпадает с вершиной параболы, ограничивающей область (3.4)), а  $\beta = 0,5$ . При этом последнее значение лишь несущественно отличается от полученного в [1] из сравнения с экспериментом по осесимметричному поджатию.

Это отличие, однако, принципиального характера: вблизи значений  $\beta$ , близких к 0,5, существенно изменяется, например, характер асимптотики величины  $\langle u_i^2 \rangle / \langle u_1^2 \rangle$ , т. е. при  $\beta = 0,5$  из формулы (42) работы [1] имеем  $\langle u_i^2 \rangle / \langle u_1^2 \rangle = 1 + 2l^{-3} \xrightarrow{l \rightarrow \infty} 1$ , в то время как при  $\beta > 0,5$  указанная величина монотонно убывает до 0, что и наблюдается в большинстве экспериментальных работ. Аналогичную (по отношению к параметрам  $D_2$  и  $D_3$ ) чувствительность обнаруживают решения системы (2.8) и в общем случае, когда  $F \neq -0,5$ .

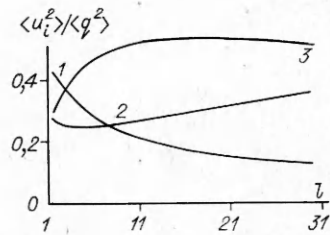
В итоге можно сделать следующий вывод: характер перераспределения энергии между компонентами в результате внешнего искажения существенно зависит от выполнения условий осесимметричности (точнее, от степени их невыполнения) входного потока по отношению к компонентам тензора  $f_{ij}^{(im)}$ . Этот вывод косвенно подтверждается большим разбросом экспериментальных данных по конфузoram и, в частности, аномальными результатами [4], где на участке поджатия наблюдался рост компоненты  $\langle u_1^2 \rangle$ . Он также согласуется с выводами в [17—19] о топологической нетривиальности структуры турбулентности и существенном влиянии соответствующих параметров на эволюцию потока.

**5. Некоторые результаты численных расчетов.** Для определенности в данном разделе приведены результаты, относящиеся к случаю  $F = 0$ . Как уже отмечалось в п. 4, решения системы (2.8) обнаруживают большую чувствительность по отношению к значениям  $D_2$  и  $D_3$ . В качестве примера на рис. 2 представлена зависимость параметра анизотропии  $K = (\langle u_3^2 \rangle - \langle u_1^2 \rangle) / (\langle u_3^2 \rangle + \langle u_1^2 \rangle)$  от  $\ln l$  для различных  $D_3$  при  $D_2 = 1$ . Кривые 1—3 соответствуют  $D_3 = 0; 0,1; 0,5$ .

В области возможных значений  $D_2$  и  $D_3$  выделенную роль играет точка  $D_3 = 0, D_2 = 1$ : при таких параметрах величина  $K$  и относительные



Р и с. 2



Р и с. 3

интенсивности различных компонент изменяются, как и в теории быстрого искажения, монотонно. Этим, однако, и ограничивается совпадение с результатами указанной теории. Так, асимптотическое значение  $\langle u_3^2 \rangle / \langle q^2 \rangle$  ( $\langle q^2 \rangle = \langle u_1^2 \rangle$ ) оказывается равным 1, а не 0,5.

В экспериментах, как известно [9—11], наблюдается более медленное изменение интенсивностей по сравнению с предсказаниями теории быстрого искажения. Кроме того, для асимптотического значения  $\langle u_3^2 \rangle / \langle q^2 \rangle$  получена оценка 0,5—0,7. Подобные особенности опытных данных воспроизводятся расчетом, если для  $D_3$  использовать значения, несколько большие 0.

В качестве примера рассмотрена третья серия опытов [9]: плоское искажение, анизотропные начальные условия, в конце искажающего участка ( $l \approx 7,2$ ) достигается предположительно асимптотическое состояние, характеризуемое значениями относительных интенсивностей 0,4; 0,37; 0,53. В [7] для этих значений получена несколько иная оценка: 0,19; 0,33; 0,48, что может свидетельствовать о большой чувствительности по отношению к начальной анизотропии. Результаты расчетов, отвечающих условиям указанных опытов, представлены на рис. 3, где номер кривой соответствует индексу  $i$  в  $\langle u_i^2 \rangle / \langle q^2 \rangle$  (по  $i$  нет суммирования),  $D_2 = 1$ . Видно, что величина  $\langle u_3^2 \rangle / \langle q^2 \rangle$  при  $l \geq 8$  действительно изменяется незначительно. Указанной области, однако, отвечает не асимптотика, а пологий максимум. Значение  $\langle u_3^2 \rangle / \langle q^2 \rangle$  в точке максимума существенно зависит от  $D_3$ , оно совпадает с 0,53, если выбрать  $D_2 = 0,035$ . Соответствующие относительные интенсивности  $\langle u_1^2 \rangle / \langle q^2 \rangle$  и  $\langle u_2^2 \rangle / \langle q^2 \rangle$  равны при этом 0,15 и 0,30, что неплохо согласуется с приведенными выше экспериментальными оценками.

В целом изменение интенсивностей происходит при  $D_3 \neq 0$  сложным образом: величины  $\langle u_3^2 \rangle / \langle q^2 \rangle$  и  $\langle u_2^2 \rangle / \langle q^2 \rangle$  проходят точки максимума и минимума, а затем асимптотически стремятся к 0 и 1. На возможность такой неожиданной эволюции и существования экстремальных точек указывают, как отмечалось в [9], даже расчеты по теории быстрого искажения, но лишь при значениях  $F$ , близких к 1. Кроме того, максимум функции  $\langle u_3^2 \rangle / \langle q^2 \rangle$  обнаружен и на некоторых экспериментальных кривых в [7, 8], однако он проинтерпретирован как результат возмущений на выходе, и, кроме того, степень деформации потока была относительно невелика ( $l = 4$  и 6). В целом вопрос о возможном реверсе асимптотики и существовании при больших степенях деформации аномального межкомпонентного переноса энергии остается открытым.

**Приложение.** С учетом тождества  $f_{ij}^{(ll)} = f_{ij}^{(0)}$  из формул (1.1) и (2.2) легко получить алгебраические соотношения, выражающие компоненты ориентационного тензора второго ранга через  $f_{ij}^{(0)}$ ,  $A$  и  $B$ :

$$(П.1) \quad f_{ij}^{(11)} = \frac{1}{(F+2)(1-F)} (\bar{B} + \bar{A} - F(F+1)) f_{ij}^{(0)};$$

$$(П.2) \quad f_{ij}^{(22)} = \frac{1}{(2F+1)(F-1)} (\bar{B} + F\bar{A} - (F+1)) f_{ij}^{(0)}.$$

С другой стороны, подставляя в определение  $P_{ij} = U_{lm} f_{mj}^{(li)}$  конкретную матрицу (2.1) с учетом тождества  $f_{ji}^{(il)} = 0$  (условие несжимаемости), имеем

$$(П.3) \quad \bar{P}_{ij} = (F + 2) f_{1j}^{(1i)} + (2F + 1) f_{2j}^{(2i)}.$$

Используя симметрию  $f_{ij}^{(im)}$  по верхним и нижним индексам, а также тождество  $P_{ii} = 0$ , из (П.3) можно вывести два уравнения, связывающих  $P_{11}$  и  $P_{22}$ :

$$\begin{aligned} \bar{P}_{22} - \frac{F+2}{2F+1} \bar{P}_{11} &= -\frac{(F+2)^2}{2F+1} f_{11}^{(11)} + (2F+1) f_{22}^{(22)}, \\ -\frac{3}{F+2} \bar{P}_{22} - \bar{P}_{11} &= \frac{(F-1)^2}{F+2} f_{22}^{(22)} - (F+2) f_{33}^{(33)}. \end{aligned}$$

Из последних соотношений после несложных, но громоздких вычислений с применением (П.1) и (П.2) получаем формулы (2.3) и (2.4) основного текста.

#### ЛИТЕРАТУРА

1. Богданов С. Р. Замыкание уравнений турбулентности как проблема аналитических и скейлинговых свойств спектральных функций // ПМТФ.— 1991.— № 6.
2. Uberoi M. S. Effect of wind-tunnel contraction on freestream turbulence // J. Aero. Science.— 1965.— V. 23.— P. 756.
3. Comte-Bellot G., Corrsin S. The use of a contraction to improve the isotropy of grid-generated turbulence // J. Fluid Mech.— 1966.— V. 25, pt 4.
4. Klein A., Ramjee V. Effect of contraction geometry on nonisotropic free-stream turbulence // Aero. Quart.— 1973.— V. 24, pt 1.
5. Хуссейн, Рамье. Влияние формы осесимметричного конфузормого канала на турбулентное течение несжимаемой жидкости // Тр. Америк. о-ва инж.-мех. Теор. основы инж. расчетов.— 1976.— № 2.
6. Дербунович Г. И., Земская А. С., Репик Е. У., Соседко Ю. П. Влияние конфузормости течения на уровень турбулентности потоков // Изв. АН СССР. МЖГ.— 1987.— № 2.
7. Таунсенд А. А. Структура турбулентного потока с поперечным сдвигом.— М.: ИЛ, 1959.
8. Tucker H. J., Reynolds A. J. The distortion of turbulence by irrotational plane strain // J. Fluid Mech.— 1968.— V. 32, pt 4.
9. Reynolds A. J., Tucker H. J. The distortion of turbulence by general irrotational strain // J. Fluid Mech.— 1975.— V. 68, pt 4.
10. Marechal J. Étude expérimentale de la déformation plane d'une turbulence homogène // J. de Mécanique.— 1972.— V. 11, N 2.
11. Матве Ж., Жандель Д. Патологическое поведение турбулентных течений и спектральный метод // Методы расчета турбулентных течений.— М.: Мир, 1984.
12. Launder B. E., Reece G. J., Rodi W. Progress in the development of a Reynolds-stress turbulence closure // J. Fluid Mech.— 1975.— V. 68, pt 3.
13. Лин А., Вольфштейн М. Теоретическое исследование уравнений для напряжений Рейнольдса // Турбулентные сдвиговые течения. 1.— М.: Машиностроение, 1982.
14. Batchelor G. K., Proudman I. The effect of rapid distortion of a fluid in turbulent motion // Quart. Journ. Mech. and Applied Math.— 1954.— V. 7, pt 1.
15. Kerschen E. J. Constraints on the invariant functions of axisymmetric turbulence // AIAA J.— 1983.— V. 21, N 7.
16. Лампи Дж. Модели второго порядка для турбулентных течений // Методы расчета турбулентных течений.— М.: Мир, 1984.
17. Moffat H. K. The degree of knottedness of tangled vortex lines // J. Fluid Mech.— 1969.— V. 35, pt 1.
18. Levich A., Tsinober A. On the role of helical structures in three dimensional turbulent flow // Phys. Lett.— 1983.— V. 93A, N 6.
19. Moffat H. K. Transport effects associated with turbulence, with particular attention to the influence of helicity // Rep. on progress in physics.— 1983.— V. 46, N 5.

г. Петрозаводск

Поступила 13/ХІ 1990 г.,  
в окончательном варианте — 21/ІІІ 1991 г.